

Day 92.

我们继续考虑宇宙膨胀的方程:  $H^2 = 8\pi p/3 - k/a^2$ . 计上物理量:  $\frac{3H^2}{8\pi G} = p - \frac{3kC^2}{8\pi Ga^2}$ . 将  $F=0$  时称为 Critical Density:  $p_C = 3n^2/8\pi G$ .

从而  $p = p_C + 3kC^2/8\pi Ga$ . 通过测量  $p$ , 我们知道宇宙膨胀速度. 通常作一比较:  $p$  大时, 引力强, 从而宇宙中物质在膨胀后“掉头返回”.

引入所谓密度参数:  $\Omega_0 = p_0/p_{C0} = \frac{8\pi G}{3kC^2} p_0$ . 为估计  $p_0$ , 设当今宇宙的主要成分是星系.  $p_0 = n_0 m$ ,  $m$  为平均质量. 星系能以直接测定其密度为单位体积内的质量 (密度).  $L = nL$ , 而  $p_0 = Lm/L$ . 不同星系的  $m$  差得很大, 但  $m/L$  的差距却小得多, 所以可以  $M/L$ .

下面介绍另一种测量星系质量的方法. 作为一种简化, 我们采用牛顿力学  $\Rightarrow n^2 m$ ,  $m = Gm(r)$ . 可以由转动测  $n(r)$ . 因为转动消耗能量, 从而  $M(r)$  为星系质量.

举个这样的例子吧, 有  $n(r)$  物体  $< 1\%$ . 但是, 没有这么简单. 看看 DM 后劲大  $10^{12}$  倍.



面对星系团进行测量, 我们有  $\Omega_0$  (cluster)  $\sim 10\% - 30\%$ .  $\rightarrow$  星系团中有暗物质 Dark matter.

但是, 我们估计的  $\Omega_0$  是总 DM. (行星, 行星, 白矮星和中子,...) 而转动质量给出上界  $2.3\% \Omega_0 < 5.1\%$ .

所以, 我们缺, 但有缺的非重子 DM.  $\rightarrow$  中微子吗? 这需要高中微子辐射机制的能量. 一般认为高能, 称作热 DM.

剩下的未知数 (强场场) 的有弱电弱非重子场. 认为其运动速度不高, 从而称作 Cold DM.

下面计算重子质量.  $\Omega_0 = \frac{p_0}{p_{C0}} = \frac{8\pi G}{3kC^2} p_0$ , 从而  $p_{C0} = \frac{8\pi G}{3kC^2} p_0 = \frac{8\pi G}{3n_0 m} n_0 m$  重子/质子或类如. 可用类比质量.

$n_{ho} = \eta = 10^{-10}$ .  $\Rightarrow \Omega_0 = \frac{8\pi G}{3kC^2} \eta n_{ho} m$  质量辐射谱.  $dn = \frac{8\pi n_e}{\lambda^3} (\exp(\frac{E}{kT}) - 1)^{-1} d\lambda$ , 又有  $E = hc = \frac{hc}{\lambda}$ .

从而  $d\eta = \frac{8\pi n_e}{\lambda^3} (\exp(\frac{hc}{kT\lambda}) - 1)^{-1} d\lambda \Rightarrow n_e = 2 \times 10^7 (\text{个}/\text{m}^3)$ . 从而  $n_e \sim 4 \times 10^{-8} \text{T}/\text{m}^3$

由于有一些不确定,  $n_e$  也有一些不确定, 将先设为不确定的三分之一代入上式, 得得结论.

Day. 93.

宇宙常数的“N 经济学”：为了解宇宙膨胀，一族 Friedmann 方程  $\rightarrow$  宇宙年龄是有限的  $\rightarrow$  Hubble Constant 独特测量  $\rightarrow \dots \rightarrow$  DFT 的结论。  
5 天体恒星质量的建立。

在上一讲中，我们指出卫（cluster） $\sim 10^{\circ} - 30^{\circ}$ ，但 1981 年的 inflationary model 认为 $\Lambda \sim 1$ 。1998 年测到 $\Lambda \neq 0$ ，且 $\Lambda$ 对宇宙有一定贡献。

最初，Hubble 测得的常数大于标准值 $8 \sim 10$ km/s/Mpc，从而使宇宙年龄远低于预期。引入宇宙常数可以做一些“修正”。具体 $G_{ab} = 8\pi(T_{ab} - \frac{1}{8\pi}g_{ab})$

由于 ideal fluid 的 E-M tensor， $T_{ab} = (\rho + p)u_a u_b + p g_{ab}$ ，从而宇宙常数引入了一个 $-p = p = -\Lambda/8\pi$  的理想流体。

它对宇宙膨胀的影响为 $3\dot{a}/a = -4\pi\Lambda(\rho + 3p) - 4\pi a \cdot (2p) = -4\pi a(p + 3p) + a \cdot \Lambda$ 。从而 $\Lambda > 0$  时可以减缓宇宙膨胀速度。

不计辐射，不加入 $\Lambda$ 的模型下，宇宙可以无减速膨胀，再加速膨胀。（真固）。

近代物理学指出“真固不固”，真固甚至有能动张量 $(T_{ab})_{vac}$ 。由基本的协变性，必有 $(T_{ab})_{vac} = -P_{vac}g_{ab}$ 。它对应于 $p = -p$  的 ideal fluid。它的这种“理想流体”与入射系的“理想流体”形成一致。换言之 $8\pi P_{vac} = \Lambda$ 。使用 DFT 估算的值为 $P_{vac} \sim \epsilon \eta^4 / 16\pi^2 c^3 c_s^5 \sim 10^{91} \text{ kg} \cdot \text{m}^{-3}$ 。

但 $\Lambda_{\text{理论}} / 8\pi P_{vac} \sim 10^{-120}$ 。在非相对论的物理中，能动张量只有数值有意义，但引入理论中不行，能动的绝对值将导致时空弯曲。

→ 神秘宇宙常数是认为宇宙中有一个“bare” cosmological Constant. 但这非常不自然

如何用物理方法得出这个值? 应该在演化过程中计算.

$$\int \frac{3(a^2+k)}{a^2} = 8\pi p + \lambda a \rightarrow H_0^2 = \frac{8\pi}{3} \cdot p_0 + \frac{\lambda}{3} - \frac{k}{a_0^2} \quad \text{且} \quad \rho = \frac{3H^2}{8\pi} \quad \Omega = \frac{\rho}{\rho_c} = \frac{8\pi p}{3H^2}$$

$$\left\{ \begin{array}{l} \frac{2\ddot{a}}{a} + \frac{\dot{a}^2 + k}{a^2} = -8\pi p + \lambda (a) \\ \text{令 } \Omega_\Lambda = \lambda / 3H_0^2 \end{array} \right. \quad \text{此式可写成} \quad \dot{a} = \Omega + \Omega_\Lambda - \frac{k}{a_0^2 H_0^2} \quad \text{对} \quad \dot{a}^2 \quad \dot{a} = \Omega_{m0} + \Omega_{\Lambda 0} - \frac{k}{a_0^2 H_0^2}$$

对减速指数做元量简化:  $q_0 = -(\frac{\ddot{a}}{a})$ . (“减速率”).  $q = -\frac{a''}{a} - \frac{\dot{a}^2}{a^2} = -\frac{1}{H^2} \frac{\ddot{a}}{a}$

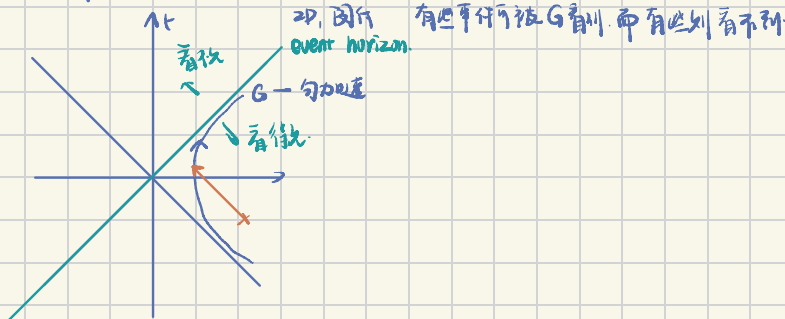
$$\text{将 } q \text{ 代入上式} \Rightarrow \frac{2\ddot{a}}{a} = \lambda - (\frac{2}{3}\pi p + \frac{k}{a}) = \frac{2}{3}\lambda - \frac{8}{3}\pi p \quad \text{从而} \quad q = 4\pi p / 3H^2 - \lambda / 3H^2 = \frac{1}{2}\Omega_{m0} - \Omega_{\Lambda 0}$$

从而  $\Omega_{m0}$  导致减速而且导致加速. 利用 type Ia supernova. 距离和年龄. 我们测出  $\Omega_{m0} \sim 0.25$ .  $\Omega_{\Lambda 0} \sim 0.63$ .  $\Rightarrow q_0 < 0$ !

而得这一现象的理论称为「dark energy」. 它有个侧面名称: 基于  $\Omega_{m0} = 0.3$ .  $\Omega_{\Lambda 0} = 0.7$  的  $\Lambda$ CDM Model. 与观测结果吻合很好.

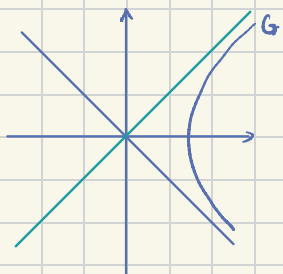
一方面.  $\Omega_\Lambda$  对质量取的很大一部分. 但  $\Lambda / P_{vac} \sim 10^{-120}$  太小.

下面简单介绍 Event Horizon 的概念

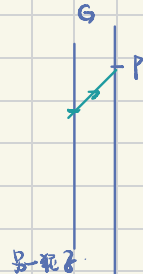


Day 95

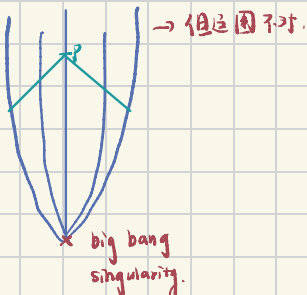
event horizon:



沿这一方向观看和世界线上一事件P.



我们想问：事件P能否收到来自其他粒子的某一时刻发的光？  
有没有一个粒子发出的光不可到达P？看起类似假设：

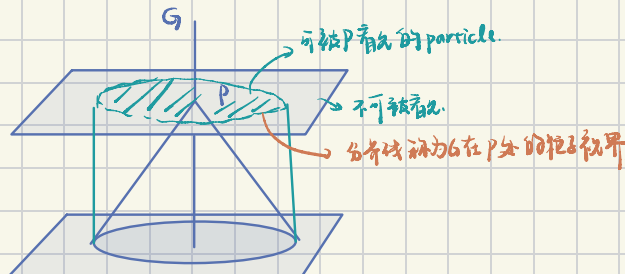
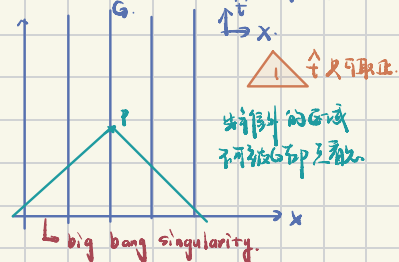


→ 但这图不对。

现在我们来画图.  $(ds)^2 = -(dt)^2 + d^2x_1 [-a^2(t)](dx_1^2 + dy^2 + dz^2)$ .

设  $a(t) = t^{1/2}$  (Rad).  $\frac{g_{ab}}{(ds)^2} = a^2(t)(-dt^2 + dx_1^2 + dy^2 + dz^2)$ .  $= a^2(t)[-(dt)^2 + (dx_1)^2 + (dy)^2 + (dz)^2]$ . let  $df = a^2(t)dt$ . then  $t^{1/2} = \int_0^t \frac{dt'}{a(t')}$ .  $\hat{t}(t) \propto \int \frac{t'^{1/2}}{t'^{1/3}} dt'$  (Mat).

补充一些共形变换 (Conformal Transformation) 的知识. 设  $\Omega(\cdot)$  为  $M \rightarrow \mathbb{R}$  映射. 若  $\exists \Omega$ ,  $\tilde{g}_{ab} = \Omega^2 g_{ab}$ . 则  $g_{ab}$  与  $\tilde{g}_{ab}$  有共形联系.  
(熟知, 共形变换就是所谓“保角变换”). 显然若  $g_{ab}$  下  $\nabla^2$  是时, 则  $\tilde{g}_{ab}$  也是时! 特别地: 在  $g_{ab}$  下是圆周地球在  $\tilde{g}_{ab}$  下仍是圆周!  
由于“因果关系”与共形变换没有关, 故 Conformal Transformation 可以帮助我们研究因果关系问题. 比如上面的问题, 可用对  $t=k=+1$ , 以上结论仍成立 (共形不变).  
从而我们在 flat metric 下探讨问题.

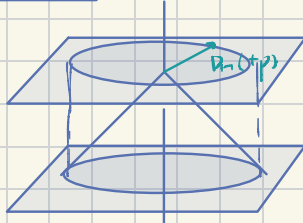


particle horizon 和 event horizon 两个东西:

① 改变世界线上一部

② 离开视界之外 (particles).

Day. 96.

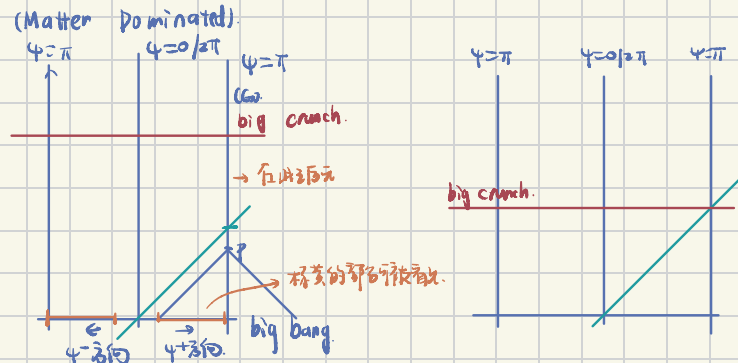
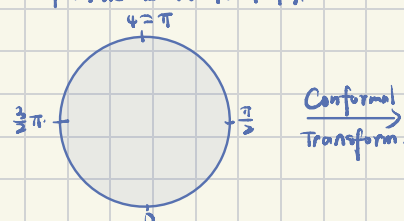
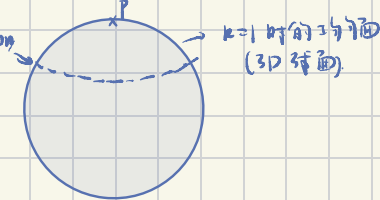


由于我们在 flat metric 中，容易证明  $D_H(t) = a(t)p \int_0^{tp} \frac{dt}{a(t)}$ 。而利用  $a(t) = \int_{t_0}^t \frac{dt}{a(t)}$

代入我们 年龄或 国防单位制，有：  $D_H(t) = \begin{cases} 2ct & (\text{rad}) \\ 3ct & (\text{mat}) \end{cases}$

在  $k=+1$ ,  $k=-1$  时 不能用这个公式。例如，在  $k=1$  时，取切面上的  $\theta$  为  $\pi/3, \pi/4, \pi/3$ 。

$k=1$  时的宇宙面  
(3D 球面)



由轮廓边界，我们可以引出标准模型的基元。根据我们的假设，宇宙空间均匀且各向同性。这有两种可能解：① 天然膨胀解 ② 粒子早期阶段相互作用粒子数目的存在对角解 ③ 带来了疑惑。

G 银河系  $D_H(t_0) = D_{\text{可观测}}(t_0) \xrightarrow{\text{GR}} \text{当前可观测宇宙半径}$

$D_{\text{可观测}}(t_0)$  在  $t_0$  的时

刻

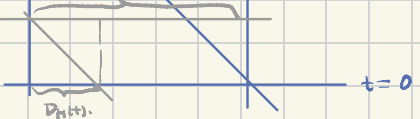
$D_{\text{可观测}}(t_0) = D_H(t_0) \sim 3ct_0 \sim 3 \times 10^{26} \text{ m}$ 。今天，我们可确认这么大的宇宙半径为何。那时宇宙粒子还未辐射到

退耦后在那时的半径为 (那时背景辐射温度与  $a(t)$  的反比成正)。then  $D_{\text{可观测}}(t_0) = D_{\text{可观测}}(t_0) \cdot \frac{T(t_0)}{T(t_{\text{辐射}})} \sim 2 \times 10^{23} \text{ m}$

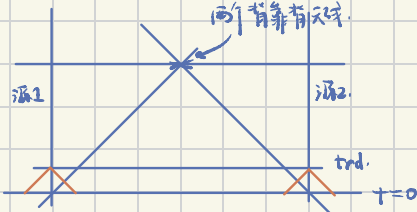
而那时光的旅行距离  $D_H \sim 2ct_0 \sim 6 \times 10^{24} \text{ m}$   $D_{\text{可观测}}(t_0) : D_H(t_0) \sim 33$ ！

由于距离起始的距离不可前在  $t_0$  时刻以前发生相互作用。所以在比  $D_H$  大 33 倍的宇宙中进行“碰撞”很困难。

而在更早的过去，计算举例。  $D_{\text{可观测}}(10^{-43} \text{ s}) : D_H(10^{-43} \text{ s}) \sim 10^{29}$ 。这更难“碰撞”了！



另有一个十分精确的等效系统，来自观测过程中，两个“背景背景”测得的等效温度相等。



两个源在  $t_0$  时刻根本没相遇过，为什么温度相等？

与“可观测宇宙”不同的概念是“可观测宇宙”。可观测宇宙指的是用目前观测手段可观测到的宇宙大小。利用 Hubbles Law，我们可以计算出这个数。而且它的量级为 1，从而「可观测宇宙」半径大约也为  $10^{26}$  m！

下一种量称为「平面性参数」。我们能证明，宇宙均匀而偏高平直的程度将随时间而增加，以  $\Sigma(t) = |1 - \Omega^2(t)|$ 。

作为偏高平直程度的指标，则  $\Sigma(t) = \left|1 - \frac{p - k}{p}\right| = \frac{3|k|}{8\pi p + 10^2(t)}$  从上  $\Sigma \propto [pa^2]^{-1} \propto \int a^2(\text{rad})$

可以算得： $\Sigma(t_0) = 10^{60} \text{ s} (10^{-43} \text{ s}) \rightarrow \Sigma(10^{-43} \text{ s}) \sim 10^{-51}, \Sigma(10^{-45} \text{ s}) \sim 1 \pm 10^{-61}$ 。  
 $a (\text{met.})$

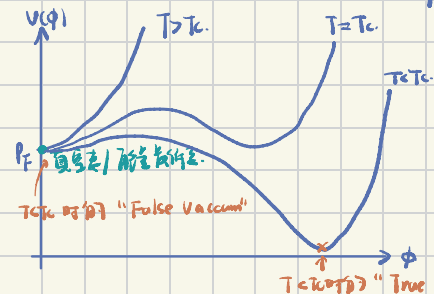
这里面的疑问在于：为什么当初有一只“无形的大手”，将其调节至如此精确的值？

还有其他的疑问（熵、熵密度、碰撞极点等等）。

Day 97 ~ 98.

为了解决高能物理学上各种各样的问题，应使用 GUT 整合的统一模型。其中采用 Grand Unification Theory，石能统一为 EM, Strong, weak 三者之一。  
 $T < T_c$  时，由于对称性被破坏，Strong to weak, EM 被统一。 $T > T_c$  时，弱统一被破坏。

GUT 模型中有一种标量场  $\phi(x)$ ，称为 Higgs Field。它与强弱相互作用的  $W^+, W^-, Z^0$  有耦合。Higgs 场的能量密度有如下形式：



从 "False Vacuum" 到 "True Vacuum" 的相变对应于暴涨过程。  
利用演化方程，我们选择大流形的参数，使得从 "False Vacuum" 到 "True Vacuum" 的相变在  $T \sim 0$  时发生，从而相变发生后，PF 在大物从辐射的能量密度从而在这一阶段取  $X = \left(\frac{8\pi G P_F}{3}\right)^{1/2}$ ，有  $a(t) \propto \exp(Xt)$ 。  
这个阶段的持续时间为  $T = X^{-1} = 10^{-34} \text{ s}$ 。这可以理解为假想与相当于  $P = -\rho$  的理想流体，由  $\dot{\alpha} = -4\pi a(p + \rho)/3$ ，以有加速度膨胀。

暴涨开始于 Higgs 场产生“跃变”的时候，也就是处于大统一临界温度时，时间约  $t_c \sim 10^{-34} \text{ s}$ 。

而后的时刻则约为  $t_F \sim 10^{-32} \text{ s}$ ，此后将进入“重加热”过程。

下面我们将说明这个新模型如何解决标准模型之疑点。

→ 扩并模型：采用新模型后，DM 的本征一样（就没有问题），而今可以在本征值要减小很多。 $\frac{\alpha(t_F)}{\alpha(t_c)} \sim 10^{43} \gg 10^{29}$ ，故引入一个“暴涨”过程确保侵入可以在很短时间内得到足够的信息。

→ 平直性疑点：我们知道  $\Sigma = \int (p\omega^1 \wedge \alpha^1 \wedge \alpha^2) (\text{Lad})$  从暴涨期间，空间膨胀缩小，故之后只要  $\Sigma \sim 0$  而非“高斯曲率”，今  $\Sigma \rightarrow 0 = \Omega \sim 1$ ！  
 $\int (p\omega^2 \wedge \alpha^1 \wedge \alpha^2) (\text{Lad})$  (Exact)  
 $\int (p\omega^1 \wedge \alpha^2 \wedge \alpha^2) (\text{False Vac.})$  所以今宇宙膨胀是平直的。

然而，该模型也有问题，最大的问题是暴涨阶段的膨胀率，所谓的“体面逃出”问题。

下面我们将讨论“暗能量”问题。当考虑宇宙加速膨胀时，可用  $\Lambda > 0$  解释，但这会带来宇宙常数与 EFT 得到的宇宙常数不一致的问题。

加速膨胀机制 / 对加速膨胀负责的宇宙常数，称作“暗能量”问题。我们将满足以下三个“准共流体”称作“暗能量”。

1). 不流动；2).  $P = \rho$  且是  $P \sim -\rho$ ；3). 空间膨胀不膨胀时间。<暗能量中“能量”实际上是一张纸的同义词>

Day. 99.

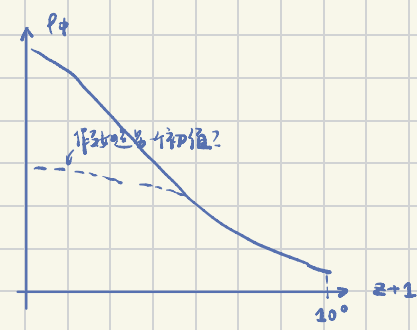
对于 $\Lambda$ , 我们仍有两个问题: ① 如何从 $\Lambda$ FT 的强弱值推导? ② “巧合性问题”, 我们有  $\left\{ \begin{array}{l} \Omega_m/\Omega_m = P_m/P_m \approx 0^3 \\ \Omega_b/\Omega_b = P_b/P_b \approx 0^4 \end{array} \right.$

可知, 在早期宇宙中  $\Omega_m$  或  $\Omega_b$  都相当大而晚期宇宙  $\Omega_m$  及  $\Omega_b$  都很小。

换言之, 在早期宇宙中有相当长一段时间内  $\Omega_m \rightarrow 0$ , 而在晚期则有  $\Omega_m \rightarrow 1$ . 而在此间,  $\Omega_m$  将从 0 “突增”到 1. 这带来了另一个“物理量突变”

我们可以看  $\dot{\Omega}/(\Omega_0 + \Omega_b)$  到底在早期和晚期这物理量为何被“Fine Tune”地如此好? 所以人们提出了时变的“Dynamical Dark Energy”. 其中一种有希望的条件 “quintessence”(第五项)预言 宇宙  $P_q = \frac{1}{2}\dot{\phi}^2 + V(\phi)$ ,  $P_\phi = \frac{1}{2}\dot{\phi}^2 - V(\phi)$ . 于是  $V(\phi) \ll \dot{\phi}^2$  有  $P_q \sim P_\phi$  ↳ (都不可行于宇宙学).

在暴涨论中  $P_q \ll P_m$ . 而后来, 除了  $P_m < P_\phi$  其他情况又具有:  $P_q \gg P_\phi$ ? 双方错了? (实际未加膨胀吗?)



当然, 我们认为一个“the new standard model”应满足以下性质:

①.  $\Omega_0 \sim 1$  (近似值).  $\Omega_0 < 0$  (加速膨胀)

②. 在很早期有暴涨

③. 宇宙内容物: Dark Energy (70%), Dark Matter (30%). 焓密度 (0.5%) Rad (0.005%).

$\downarrow$   
加速膨胀

$\downarrow$   
星系旋转曲线

$\downarrow$   
哈勃常数

$\downarrow$   
宇宙的年龄

→ The Destiny of Our Universe 「从何而来? 何何而去?」

Standard Model 中, 宇宙命运由  $k=0$  一决定. 而现在由于 DM, DE 的引入, 假若  $k=0$  的宇宙都有不同可能.

①.  $\Lambda = \text{Const} > 0 \rightarrow \Omega_m/\Omega_m \uparrow$  入射能量过高, 则宇宙最终将停止膨胀(指数增长). ②. 若是 Dynamical DE, 则可以有  $P_m < P_m$ . ③. 若是  $k \neq 0$  的情况

④. 甚至 Dynamical DM, 可能演化至  $P_m < 0$ ,  $P > 0$  从而宇宙又将收缩

进而有人想使用卫星探测  $N$  个超新星, 从而探测宇宙  $70\%$  左右的历史.

以及探测暗物质的密度分布.  $w = P/P$ . 及其演化, 从而判断何种模型才更正确的.

“The future of dark physics looks very bright!”